

пределение по подуровням. Детальный квантовомеханический расчет [489] также приводит к формуле [13.6], если нижний уровень предполагать бесконечно тонким. Если неупругие столкновения происходят достаточно часто, чтобы давать заметный вклад в полную ширину уровня, то $\delta = \delta_R + \delta_C + \delta_I$. В этом случае следует полагать $\gamma = (\delta_R + \delta_I)/(\delta_R + \delta_C + \delta_I)$, так как перераспределение атомов по подуровням возбужденного состояния производится только упругими столкновениями [489]. В уравнение переноса в этом случае нужно вводить дополнительный источниковый член, учитывающий ударное возбуждение верхнего уровня (см. § 13.4). Резюмируя, можно сказать, что функцию перераспределения в этом более общем случае можно выразить в виде линейной комбинации выражений, описывающих случаи II и III.

13.2. Доплеровское перераспределение в лабораторной системе отсчета

ОБЩИЕ ФОРМУЛЫ

Рассмотрим теперь влияние доплеровских смещений, появляющихся из-за движения рассеивающих атомов по отношению к лабораторной системе отсчета. В этом разделе будут выведены выражения, полностью описывающие угловую и частотную зависимость перераспределения, происходящего в процессе рассеяния. На практике лишь немногие расчеты переноса излучения, имеющие отношение к образованию линий в звездных атмосферах, были выполнены со столь детальным описанием процесса рассеяния (слишком велика размерность задачи!), и в приложениях гораздо полезнее те усредненные по углам функции перераспределения, которые будут выведены в § 13.3. Следуя рассмотрению Хаммера, мы сначала выводим общие выражения для функции перераспределения в системе отсчета наблюдателя, а затем уже находим явные формулы для введенных выше частных случаев. Как говорилось в § 2.1, функция перераспределения

$$R(\nu', \mathbf{n}'; \nu, \mathbf{n}) d\nu' d\nu (d\omega'/4\pi) (d\omega/4\pi)$$

дает совместную вероятность рассеяния фотона, имевшего в лабораторной системе частоту $(\nu', \nu' + d\nu')$ и двигавшегося в телесном угле $d\omega'$ около направления \mathbf{n}' , в частотный интервал $(\nu, \nu + d\nu)$ и в телесный угол $d\omega$ около направления \mathbf{n} . Эта функция нормирована

на так, что (формула (2.7))

$$(4\pi)^2 \oint d\omega' \oint d\omega \int_0^\infty d\nu' \int_0^\infty d\nu R(\nu', \mathbf{n}'; \nu, \mathbf{n}) = 1. \quad (13.6)$$

Предположим, что атом, движущийся со скоростью \mathbf{v} , которая во время процесса рассеяния остается постоянной, поглощает фотон (ν', \mathbf{n}') и излучает фотон (ν, \mathbf{n}) (при измерении в лабораторной системе). Если при переходе от системы отсчета атома к лабораторной системе пренебречь aberrацией, то в системе отсчета атома частоты этих фотонов при поглощении и излучении равны

$$\xi' = \nu' - \nu_0(\mathbf{v} \cdot \mathbf{n})/c \quad (13.7a)$$

и

$$\xi = \nu - \nu_0(\mathbf{v} \cdot \mathbf{n})/c. \quad (13.7b)$$

Как было показано в § 13.1, совместная вероятность поглощения фотона (ξ', \mathbf{n}') с последующим излучением фотона (ξ, \mathbf{n}) (при измерении в системе отсчета атома) равна

$$f(\xi') p(\xi', \xi) g(\mathbf{n}', \mathbf{n}) d\xi' d\xi (d\omega'/4\pi) (d\omega/4\pi).$$

Переходя в этом выражении с помощью формул (13.7) к лабораторной системе, можем написать

$$R_v(\nu', \mathbf{n}'; \nu, \mathbf{n}) = \\ = f(\nu' - \nu_0(\mathbf{v} \cdot \mathbf{n}')/c) p(\nu' - \nu_0(\mathbf{v} \cdot \mathbf{n}')/c, \nu - \nu_0(\mathbf{v} \cdot \mathbf{n})/c) g(\mathbf{n}', \mathbf{n}), \quad (13.8)$$

где индекс v означает, что перераспределение производится атомом, имеющим скорость \mathbf{v} . Чтобы найти, что получится в результате для ансамбля атомов, следует произвести усреднение по распределению скоростей, которое считается максвелловским. Чтобы выполнить это усреднение, введем тройку взаимно перпендикулярных осей $(\mathbf{n}_1, \mathbf{n}_2, \mathbf{n}_3)$, причем \mathbf{n}_1 и \mathbf{n}_2 выбираются компланарными \mathbf{n}' и \mathbf{n} , а \mathbf{n}_3 берется так, что он делит пополам угол Θ между ними (см. рис. 13.1). Тогда можно написать

$$\mathbf{n}' = (\cos \frac{1}{2}\Theta) \mathbf{n}_1 + (\sin \frac{1}{2}\Theta) \mathbf{n}_2 = \alpha \mathbf{n}_1 + \beta \mathbf{n}_2 \quad (13.9)$$

и

$$\mathbf{n} = (\cos \frac{1}{2}\Theta) \mathbf{n}_1 - (\sin \frac{1}{2}\Theta) \mathbf{n}_2 = \alpha \mathbf{n}_1 - \beta \mathbf{n}_2. \quad (13.10)$$

Разложим \mathbf{v} по этим осям и обозначим $v_i = \mathbf{v} \cdot \mathbf{n}_i$. Для удобства будем выражать скорости в безразмерных тепловых единицах

$$\mathbf{u} = \mathbf{v}/v_{\text{тепл}} = (m/2kT)^{1/2} \mathbf{v}, \quad (13.11)$$

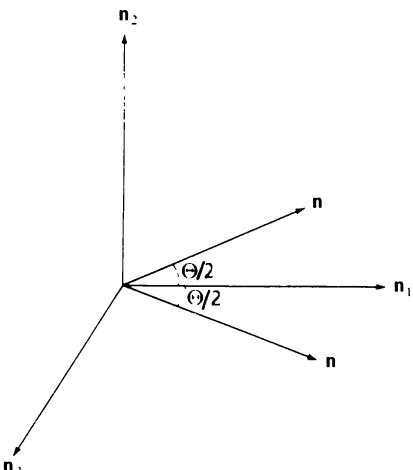


Рис. 13.1. Координатные оси, используемые при вычислении функций перераспределения. Векторы \mathbf{n}_1 , \mathbf{n}_2 , \mathbf{n} и \mathbf{n}' лежат в одной плоскости. Вектор \mathbf{n}_1 делит пополам угол Θ ($0 \leq \Theta \leq \pi$) между \mathbf{n}' и \mathbf{n} .

где m_A — масса атома, и введем доплеровскую ширину

$$w = (\nu_0/c)(2kT/m_A)^{1/2} = \nu_0(v_{\text{тепл}}/c). \quad (13.12)$$

Тогда максвелловское распределение скоростей [формула (5.1)] примет вид

$$\begin{aligned} P(u_1, u_2, u_3) du_1 du_2 du_3 &= \\ = \pi^{-3/2} \exp[-(u_1^2 + u_2^2 + u_3^2)] du_1 du_2 du_3. & \end{aligned} \quad (13.13)$$

Усредним теперь выражение (13.8) по распределению скоростей, даваемому формулой (13.13). Получим

$$\begin{aligned} R(\nu', \mathbf{n}'; \nu, \mathbf{n}) &= \int_{-\infty}^{\infty} du_1 \int_{-\infty}^{\infty} du_2 \int_{-\infty}^{\infty} du_3 P(u_1, u_2, u_3) R_u(\nu', \mathbf{n}'; \nu, \mathbf{n}) = \\ &= \pi^{-1} g(\mathbf{n}', \mathbf{n}) \int_{-\infty}^{\infty} du_1 e^{-u_1^2} \int_{-\infty}^{\infty} du_2 e^{-u_2^2} \times \end{aligned}$$

$$\times f[\nu' - w(\alpha u_1 + \beta u_2)] p[\nu' - w(\alpha u_1 + \beta u_2), \nu - w(\alpha u_1 - \beta u_2)],$$

причем интегрирование по u_3 уже выполнено. Другую форму записи R , которая также окажется полезной, можно получить, если выбрать \mathbf{n}_1 параллельным \mathbf{n}' . Тогда $\mathbf{v} \cdot \mathbf{n}' = v_1$, а

$$\mathbf{v} \cdot \mathbf{n} = v_1 \cos \Theta + v_2 \sin \Theta = \alpha' v_1 + \beta' v_2. \quad (13.15)$$

Поэтому получаем

$$R(\nu', \mathbf{n}'; \nu, \mathbf{n}) = \pi^{-1} g(\mathbf{n}', \mathbf{n}) \int_{-\infty}^{\infty} du_1 e^{-u_1^2} f(\nu' - wu_1) \times \\ \times \int_{-\infty}^{\infty} du_2 e^{-u_2^2} p[\nu' - wu_1, \nu - w(\alpha' u_1 + \beta' u_2)]. \quad (13.16)$$

С помощью этих общих формул теперь можно получить функции перераспределения для различных случаев, введенных в § 13.1. Заметим прежде всего, что в случаях I и II рассеяние в системе отсчета атома когерентно, так что

$$p(\xi', \xi) = \delta(\xi' - \xi) = \delta(\nu - \nu' + 2w\beta u_2). \quad (13.17)$$

В обоих этих случаях выражение для p не содержит u_1 в явном виде. Если выражение (13.17) подставить в (13.14), то интегрирование по u_2 можно выполнить непосредственно (перейдя к переменной $z = 2w\beta u_2$ для сохранения нормировки δ -функции Дирака). В результате при $\beta \neq 0$ получим

$$R_c(\nu', \mathbf{n}'; \nu, \mathbf{n}) = \\ = \frac{g(\mathbf{n}, \mathbf{n}')}{2\pi\beta w} \exp\left[-\frac{(\nu - \nu')^2}{2\beta^2 w^2}\right] \cdot \int_{-\infty}^{\infty} e^{-u^2} f\left[\frac{1}{2}(\nu + \nu') - w\alpha u\right] du, \quad (13.18)$$

а при $\beta = 0$ находим

$$R_c(\nu', \mathbf{n}'; \nu, \mathbf{n}) = \pi^{1/2} g(\mathbf{n}', \mathbf{n}) \delta(\nu' - \nu) \int_{-\infty}^{\infty} e^{-u^2} f(\nu' - wu) du. \quad (13.19)$$

Индекс c означает когерентность в системе отсчета атома.

Упражнение 13.1. Проверить справедливость формул (13.18) и (13.19).

Наконец, отметим, что эти результаты можно записать в удобной и компактной форме, если смещения частоты относительно центра линии выражать в доплеровских единицах:

$$x = (\nu - \nu_0)/w \quad (13.20)$$

$$x' = (\nu' - \nu_0)/w \quad (13.21)$$

и положить

$$R(x', \mathbf{n}'; x, \mathbf{n}) = R(\nu', \mathbf{n}'; \nu, \mathbf{n})(d\nu'/dx')(d\nu/dx) = \\ = w^2 R(\nu', \mathbf{n}', \nu, \mathbf{n}), \quad (13.22)$$

что обеспечивает нормировку к единице $R(x', \mathbf{n}'; \mathbf{x}, \mathbf{n})$ при интегрировании по x' и x .

ОКОНЧАТЕЛЬНЫЕ РЕЗУЛЬТАТЫ ДЛЯ ЧАСТНЫХ СЛУЧАЕВ

а) *Случай I.* Если в формулу (13.18) подставить $f(\xi') = \delta(\xi' - \nu_0)$, сразу же получим

$$R_1(\nu', \mathbf{n}'; \nu, \mathbf{n}) = \frac{g(\mathbf{n}', \mathbf{n})}{2\pi\alpha\beta w^2} \exp\left[-\frac{(\nu - \nu')^2}{2p^2w^2}\right] \exp\left[-\frac{(\nu + \nu' - 2\nu_0)^2}{4\alpha^2w^2}\right]. \quad (13.23)$$

Заметив, далее, что $2\alpha\beta = 2\sin(\frac{1}{2}\Theta)\cos(\frac{1}{2}\Theta) = \sin\Theta$ и $\alpha^2 + \beta^2 = 1$, и перейдя по формулам (13.20) — (13.22) к безразмерным единицам, найдем, что

$$R_1(x', \mathbf{n}'; x, \mathbf{n}) = [g(\mathbf{n}', \mathbf{n})/\pi\sin\Theta]\exp[-x^2 - (x' - x\cos\Theta)^2 \csc^2\Theta]. \quad (13.24)$$

Упражнение 13.2. Проделать промежуточные выкладки, необходимые для получения формулы (13.24).

Из этой формулы непосредственно следует, что, *даже если рассеяние строго когерентно в системе отсчета атома, в лабораторной системе происходит существенное перераспределение*. Это обстоятельство, как было подчеркнуто Томасом [622], имеет очень большое физическое значение. Он изучил частотную зависимость рассеянного излучения [см. формулу (2.9)], взяв несколько простых аналитических выражений для интенсивности падающего излучения, и показал, что в доплеровском ядре ($x \leq 3$), в пределах которого коэффициент поглощения изменяется в 10^4 раз, отношение частотных профилей коэффициентов излучения и поглощения не превосходит 4. Поэтому *в пределах доплеровского ядра предположение о полном перераспределении рассеянного излучения по частотам служит превосходным приближением* (в этом будет легко убедиться, воспользовавшись получаемыми в § 13.2 усредненными по углам функциями перераспределения; см. также рис. 13.2). Этот результат служит главным основанием для принятия предположения о полной некогерентности при рассмотрении образования линий, как это было сделано нами в гл. 11 и 12. Вне пределов ядра линии предположение о полном перераспределении не дает столь высокой

точности, и здесь следует использовать точную функцию перераспределения. Например, как показывают простые физические соображения [597], в рассматриваемом сейчас случае переизлучение в далеких крыльях линии примерно на две трети некогерентно и на одну треть — когерентно. С другой стороны, вне доплеровского ядра крылья линии часто оказываются залиты континуумом (если только профиль не характеризуется большой постоянной затухания), а в этом случае детали перераспределения становятся менее существенными.

б) *Случай II.* Здесь подстановка выражения (13.3) в (13.18) дает

$$R_{II}(\nu', \mathbf{n}'; \nu, \mathbf{n}) = \frac{g(\mathbf{n}', \mathbf{n})}{2\pi\alpha\beta w^2} \exp\left[\frac{-(\nu - \nu')^2}{4\beta^2 w^2}\right] \times \\ \times \frac{\delta}{\pi\alpha w} \int_{-\infty}^{\infty} e^{-u^2} \left[\left(\frac{\nu' + \nu - 2\nu_0}{2\alpha w} - u \right)^2 + \left(\frac{\delta}{\alpha w} \right)^2 \right]^{-1} du. \quad (13.25)$$

Переходя с помощью формул (13.20) — (13.22) к безразмерным частотам и вспоминая определение функции Фойгта $H(a, v)$ [см. формулу (9.34)], окончательно получаем

$$R_{II}(x', \mathbf{n}'; x, \mathbf{n}) = \frac{g(\mathbf{n}', \mathbf{n})}{\pi \sin \Theta} \exp\left[-\frac{1}{2}(x - x')^2 \csc^2 \frac{\Theta}{2}\right] \times \\ \times H[a \sec \frac{\Theta}{2}, \frac{1}{2}(x + x') \sec \frac{\Theta}{2}], \quad (13.26)$$

где $a = \delta/w$. Хотя это выражение сравнительно сложно, существуют эффективные методы вычисления $H(a, v)$ и поэтому R_{II} можно рассчитать довольно просто. Как будет выяснено в § 13.3, R_{II} приводит к почти полному перераспределению в ядре линии ($x \leq 2,5$), в крыльях же линии дает почти строгую когерентность.

Упражнение 13.3. Воспроизвести выкладки, опущенные выше при выводе формулы (13.26).

в) *Случай III.* Здесь, как было отмечено выше [формула (13.4)], $p(\xi', \xi)$ не зависит от ξ' . В этом случае целесообразно воспользоваться выражением (13.16). Подставив в него (13.3) и (13.4), найдем

$$R_{III}(\nu', \mathbf{n}'; \nu, \mathbf{n}) =$$

$$= \frac{g(\mathbf{n}', \mathbf{n})}{\pi} \int_{-\infty}^{\infty} du_1 e^{-u_1^2} \left(\frac{\delta}{\pi} \right) \left[(\nu' - \nu_0 - w u_1)^2 + \delta^2 \right]^{-1} \times \\ \times \int_{-\infty}^{\infty} du_2 e^{-u_2^2} \left(\frac{\delta}{\pi} \right) \left\{ [\nu - w(u_1 \cos \Theta + u_2 \sin \Theta) - \nu_0]^2 + \delta^2 \right\}^{-1}. \quad (13.27)$$

Переходя к безразмерным переменным и пользуясь и здесь определением функции Фойгта, находим

$$R_{III}(x', \mathbf{n}'; x, \mathbf{n}) = \frac{g(\mathbf{n}', \mathbf{n})}{\pi^2} \sigma \int_{-\infty}^{\infty} \frac{e^{-u^2} H(\sigma, x \csc \Theta - u \cot \Theta)}{(x' - u)^2 + a^2} du, \quad (13.28)$$

где $\sigma = a \csc \Theta$ и $a = \delta/w$. Этот интеграл уже не выражается через простые функции, и его следует находить численным интегрированием [529].

Упражнение 13.4. Воспроизвести выкладки, необходимые для получения формулы (13.28).

Упражнение 13.5. В пределе, когда можно пренебречь комптоновскими эффектами (т.е. при $h\nu/mc^2 \ll 1$, где m — масса электрона), рассеяние излучения электронами является когерентным: $p(\xi', \xi) = \delta(\xi' - \xi)$, и серым: $f(\xi) = \sigma_e = 8\pi e^4/3m^2c^4$. а) Показать, что функция перераспределения для электронного рассеяния есть (см. [196], [475], [161], § 86):

$$R_e(\nu', \mathbf{n}'; \nu, \mathbf{n}) = g(\mathbf{n}', \mathbf{n}) \left[\frac{mc^2}{4\pi kT(1 - \cos \Theta)\nu^2} \right]^{1/2} \exp \left[-\frac{mc^2(\nu - \nu')^2}{4kT(1 - \cos \Theta)\nu^2} \right].$$

б) Показать, что при $T = 10^4$ К, $\lambda = 4000 \text{ \AA}$, $\Theta = \pi/2$ характерная ширина перераспределения около 10 \AA . Этот результат свидетельствует о том, что у звезд ранних типов спектральные линии могут быть существенно расширены из-за электронного рассеяния [159], [475], [161], § 86; [318], [319].

СВОЙСТВА СИММЕТРИИ

Полученные выше функции перераспределения обладают некоторыми свойствами симметрии, которые часто можно использовать для упрощения вида уравнения переноса. Чтобы получить их,

удобно переписать общее выражение (13.14) в переменных x и x' . Положим $\bar{f}(\nu - \nu_0) = f(\nu)$ и $\bar{p}(\nu - \nu_0, \nu' - \nu_0) = p(\nu, \nu')$. Тогда из формул (13.14) и (13.20) — (13.22) имеем

$$\begin{aligned} R(x', \mathbf{n}'; x, \mathbf{n}) &= w^2 \pi^{-1} g(\mathbf{n}', n) \times \\ &\times \int_{-\infty}^{\infty} du_1 e^{-u_1^2} \int_{-\infty}^{\infty} du_2 e^{-u_2^2} \bar{f}[w(x' - \alpha u_1 - \beta u_2)] \times \\ &\times \bar{p}[w(x' - \alpha u_1 - \beta u_2), w(x - \alpha u_1 + \beta u_2)]. \end{aligned} \quad (13.29)$$

Для всех четырех случаев, введенных в § 13.1, в системе отсчета атома рассеяние симметрично, т.е.

$$\bar{f}(\xi') \bar{p}(\xi', \xi) = \bar{f}(-\xi') \bar{p}(-\xi', -\xi). \quad (13.30)$$

Предположим, что в формуле (13.29) мы сделали замену $x' \rightarrow -x'$ и $x \rightarrow -x$. Если одновременно изменить знаки u_1 и u_2 [что можно сделать, поскольку интегрирование идет по полному промежутку $(-\infty, \infty)$], из формулы (13.30) непосредственно видно, что

$$R(-x', \mathbf{n}'; -x, \mathbf{n}) = R(x', \mathbf{n}'; x, \mathbf{n}). \quad (13.31)$$

Далее, заметим, что замена $\mathbf{n}' \rightarrow -\mathbf{n}'$, $\mathbf{n} \rightarrow -\mathbf{n}$ изменяет знаки α и β на обратные, и вспомним, что $g(\mathbf{n}', \mathbf{n})$ зависит только от $\mathbf{n}' \cdot \mathbf{n}$. Тогда из формул (13.29) и (13.30) ясно, что

$$R(-x', -\mathbf{n}'; -x, -\mathbf{n}) = R(x', \mathbf{n}'; x, \mathbf{n}), \quad (13.32)$$

а из (13.31) и (13.32) следует, что

$$R(x', -\mathbf{n}'; x, -\mathbf{n}) = R(x', \mathbf{n}'; x, \mathbf{n}). \quad (13.33)$$

Для справедливости формул (13.31) — (13.33) достаточно, чтобы выполнялось соотношение (13.30). Поэтому они являются довольно общими. Далее, поскольку R зависит лишь от угла между \mathbf{n}' и \mathbf{n} , эти переменные можно поменять местами, и R не должна при этом изменяться:

$$R(x', \mathbf{n}; x, \mathbf{n}') = R(x', \mathbf{n}'; x, \mathbf{n}). \quad (13.34)$$

Заметим теперь, что если в системе отсчета атома рассеяние когерентно (случаи I и II), то функции перераспределения зависят только от $x + x'$ и $|x - x'|$ [см. формулы (13.23) и (13.26)]. Поэтому, если x и x' поменять местами, R не изменится, т.е.

$$R_i(x, \mathbf{n}'; x', \mathbf{n}) = R_i(x', \mathbf{n}'; x, \mathbf{n}), \quad i = I, II. \quad (13.35)$$

Наконец, замена $\mathbf{n}' \rightarrow -\mathbf{n}'$ изменяет знаки α и β в выражении для падающих фотонов на противоположные. Поэтому если $g(\mathbf{n}', \mathbf{n})$ — четная функция $\mathbf{n}' \cdot \mathbf{n}$, то

$$\begin{aligned} R(-x', -\mathbf{n}'; x, \mathbf{n}) &= w^2 \pi^{-1} g(\mathbf{n}', \mathbf{n}) \times \\ &\times \int_{-\infty}^{\infty} du_1 e^{-u_1^2} \int_{-\infty}^{\infty} du_2 e^{-u_2^2} \bar{f}[w(-x' + \alpha u_1 + \beta u_2)] \times \\ &\times \bar{p}[w(-x' + \alpha u_1 + \beta u_2), w(x - \alpha u_1 + \beta u_2)]. \quad (13.36) \end{aligned}$$

В некоторых случаях это выражение приводится к виду (13.29). В частности, интегралы в (13.36) и (13.29) будут равны, если $\bar{f}(\xi') = \delta(\xi')$ или если $\bar{f}(\xi')\bar{p}(\xi', \xi) = \bar{f}(-\xi')\bar{p}(-\xi', \xi)$. Первый вариант имеет место в случае I, второй — в случае III, для которого $\bar{f}(\xi') = \bar{f}(-\xi')$ и $\bar{p}(\xi', \xi) = \bar{f}(\xi)$. Поэтому приходим к заключению, что

$$R_i(-x', -\mathbf{n}'; x, \mathbf{n}) = R_i(-x', \mathbf{n}'; x, -\mathbf{n}) = R_i(x', \mathbf{n}'; x, \mathbf{n}), \quad i = \text{I, III}, \quad (13.37)$$

причем второе равенство следует из формулы (13.33).

ПРИМЕНЕНИЯ

Решение уравнения переноса, точно учитывающего перераспределение по частотам и по углам, получить довольно трудно. Для этого требуются более сильные методы, чем те, которые обсуждаются в этой книге. Для рассмотрения этой задачи привлекались метод Монте-Карло [31], [50] и сведение к разностным уравнениям [460]. Существует ряд ситуаций, когда могут оказаться существенными и угловые, и частотные эффекты. Например, выход L_α -фотонов из очень толстой туманности чувствителен к деталям процесса рассеяния, и здесь требуется полное и тщательное рассмотрение [31]. Кроме того, если вещество движется с некоторой макроскопической скоростью, коэффициенты поглощения и излучения в системе отсчета наблюдателя приобретают угловую зависимость (см. § 2.1). Поэтому при рассмотрении переноса излучения угловая и частотная зависимости оказываются неотъемлемо связанными друг с другом (см. § 14.1), и детали процесса перераспределения могут поэтому иметь значение. Однако в этой книге для движущихся сред рассматривается только случай полного перераспределения, и поэтому дальше обсуждать это мы не будем. Наконец, если есть возможность получить из наблюдений сведения о частотной и угло-

вой зависимости интенсивности (например, на Солнце путем измерения изменений центр — край), то следует изучить возможную роль зависимости процесса перераспределения от угловых переменных. Исследования этого вопроса, проведенные до сих пор [640], [641], [460], показывают, что по крайней мере для полубесконечных плоскапараллельных атмосфер, состоящих из однородных по горизонтали слоев, различиями между результатами, получающимися при использовании усредненных по углам функций перераспределения, и теми, которые дает применение функций перераспределения, полностью учитывающих угловую зависимость, можно пренебречь. С другой стороны, для оптически тонких сред или для мелкомасштабных структур (например, для элементов тонкой структуры хромосферы, спикул и т.п.) угловые эффекты часто очень существенны [186] и их следует детально учитывать. Однако эти вопросы выходят за рамки этой книги, и мы не будем их обсуждать, обратившись вместо этого сначала к выводу усредненных по углам функций перераспределения и затем к их использованию в расчетах переноса излучения.

13.3. Усредненные по углам функции перераспределения

Как отмечалось в § 2.1, если принять, что излучение в некоторой конкретной точке в атмосфере практически изотропно, то вклад в коэффициент излучения, обусловленный процессами рассеяния, можно записать в виде

$$\eta^s(r, \nu) = \sigma(r) \int_{-\infty}^{\infty} R(\nu', \nu) J_{\nu'} d\nu', \quad (13.38)$$

где $J_{\nu'}$ — средняя интенсивность и $R(\nu', \nu)$ — усредненная по углам функция перераспределения

$$R(\nu', \nu) \equiv (4\pi)^{-1} \oint R(\nu', \omega'; \nu, \omega) d\omega'. \quad (13.39)$$

Основание для такого подхода состоит, по существу, в следующем. Поле излучения на любой заданной частоте будет заметно отличаться от изотропного лишь в точках, оптическое расстояние которых от границы τ_{ν} порядка единицы или меньше. На глубинах $\tau_{\nu} \geq 1$ поле излучения почти изотропно. Между тем основная особенность образования линий при отсутствии ЛТР, которая четко выявились в гл. 11, состоит в том, что значение функции источни-